

# LUCRARE LABORATOR NR.1

## CARACTERIZAREA STATICĂ ȘI DINAMICĂ A ELASTOMERILOR PDMS-SiO<sub>2</sub>-TiO<sub>2</sub>

### 1. Scopul lucrării:

- luarea la cunoștință a tehnicilor de experimentale pentru determinarea deformațiilor induse electric într-un film polimeric;
- descrierea echipamentului și metodei de măsurare care utilizează senzorul de deplasare MTN/EP080, produs de firma Monitran;
- utilizarea echipamentului de către studenți.

### 2. Introducere

În general, tehnicile experimentale pentru determinarea deformațiilor induse electric într-un film polimeric pot fi grupate în două categorii: metode de contact și metode non-contact. Metodele de contact, cum este aceea care folosește modificarea capacității între două plăci paralele pentru a măsura deplasarea, sunt dificil de utilizat, introduc erori și impun anumite constrângeri mecanice care pot fi semnificative pentru o probă subțire și moale. Câteva din metodele non-contact dezvoltate și adaptate pentru a măsura deformațiile polimerilor electroactivi sunt interferometrul optic cu laser, vibrometru laser Doppler, traductor de deplasare cu efect Hall, traductor cu reluctanță diferențial variabilă – DVRT și altele.

Caracterizarea statică se referă la determinarea răspunsului electromecanic de acțuație al elastomerului dielectric atunci când acesta este plasat în câmp electric continuu, iar caracterizarea dinamică presupune investigarea deformației la stimularea cu tensiuni electrice alternative. Răspunsul electromecanic în regim dinamic este mai dificil de măsurat deoarece anumiți parametri de material, cum sunt constanta dielectrică și modulul de elasticitate, variază mult cu frecvența semnalului aplicat.

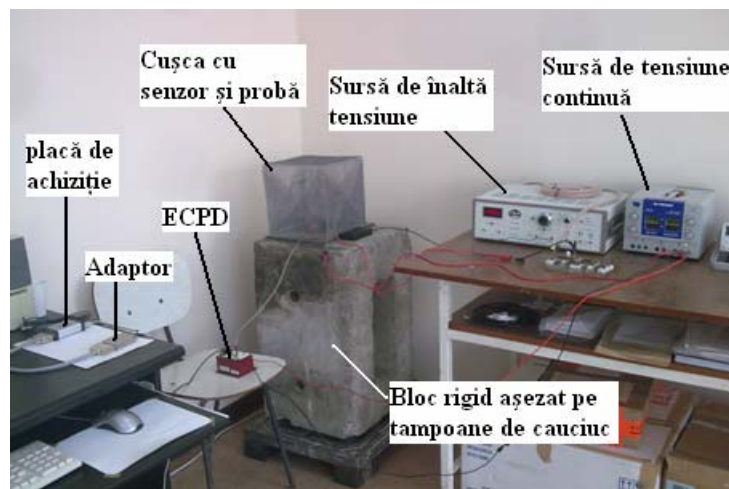
Această lucrare este dedicată studiului comportamentului electromecanic al elastomerilor PDMS-SiO<sub>2</sub>-TiO<sub>2</sub> atunci când sunt stimulați cu tensiuni electrice continue .

### 3. Caracterizarea statică a elastomerilor PDMS-SiO<sub>2</sub>-TiO<sub>2</sub>

#### 3.1 Descrierea echipamentului

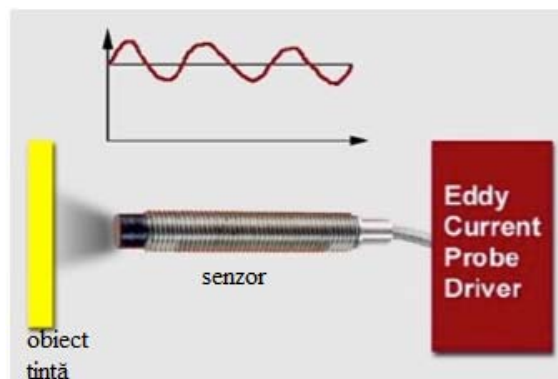
Metoda constă în plasarea unor filme circulare între doi electrozi metalici de alamă și măsurarea printr-o tehnică non-contact a contracțiilor filmelor ( $s_z$ ) rezultate în urma aplicării între cei doi electrozi a unor tensiuni electrice continue înalte (de ordinul kV). Figura 1 ilustrează montajul experimental folosit în măsurări.

Senzorul de deplasare MTN/EP080 utilizat în cadrul măsurărilor este produs de firma Monitran și măsoară deplasarea unui corp țintă conductor, prin intermediul curenților turbionari (curenți Foucault). Astfel, semnalul de înaltă frecvență (1 MHz) produs de modulul ECPD (Eddy Current Probe Driver) alimentează bobina de cupru din vârful sensorului care va radia în formă de con acest semnal. Într-un obiect țintă plasat în apropierea sensorului se vor induce curenți turbionari. Modulul ECPD demodulează acest semnal dând o tensiune modulată în care componenta continuă este direct proporțională cu distanța dintre senzor și obiectul țintă iar componenta alternativă este direct proporțională cu vibrația.



**Figura 1** Montajul experimental pentru măsurări în regim static

Figura 2 ilustrează principiul de funcționare al senzorului de deplasare cu curenți turbionari folosit în măsurări.



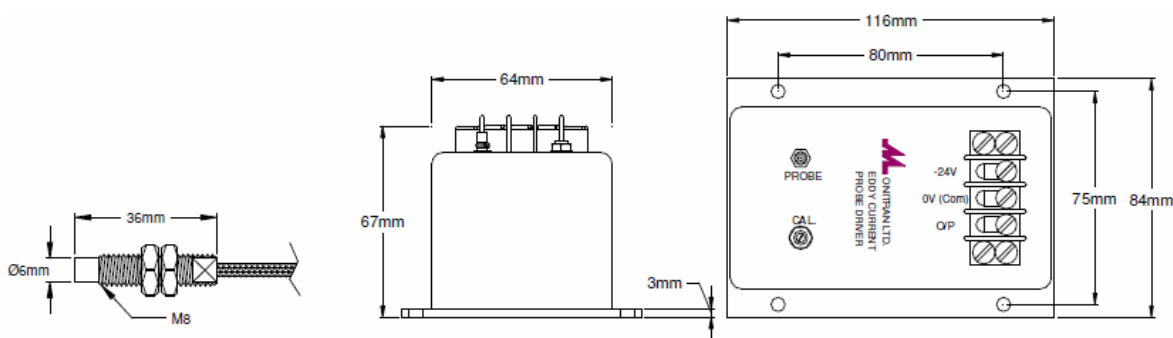
**Figura 2** Principiul de funcționare al senzorului cu curenți turbionari

Spre deosebire de senzorul capacitiv, senzorul cu curenți turbionari nu este influențat de anumiți contaminanți (de exemplu ulei, apă, ș.a.) care se pot interpune între senzor și corpul țintă. Astfel, senzorul cu curenți turbionari este potrivit pentru toate mediile, de la interiorul motoarelor cu ardere internă la camere controlate cu

semiconductori. În medii cu temperatură ridicată, senzorul cu curenți turbionari, independent de partea electronică (cu excepția cablului), poate rezista la temperaturi mai ridicate decât senzorul cu laser, care are partea electronică integrată în capul de detecție. De asemenea, vaporii sau fluidele pot condensa pe părțile optice ale senzorului laser și îi pot degrada performanța în timp. Acestea nu se întâmplă în cazul senzorului cu curenți turbionari.

Curenții turbionari induși în obiectul țintă depind de permitivitatea și rezistivitatea materialului, dar și de grosimea acestuia. Cu cât materialul este mai conductiv, cu atât este mai bun ca obiect țintă. Poate exista o diferență drastică între materialele magnetice (fier, oțel) și cele nemagnetice (aluminiu, cupru). Mai puțin drastică, dar tot semnificativă, este diferența între două materiale nemagnetice. Atunci când se comandă un astfel de senzor trebuie specificat materialul din care este alcătuit obiectul țintă, pentru a asigura o calibrare corectă. Obiectul țintă nu trebuie legat la masă și trebuie să aibă o suprafață cât mai plană.

Forma și dimensiunile geometrice ale senzorului EP080 și modului de alimentare ECPD sunt prezentate în figura 3. Modulul ECPD conține un oscilator de înaltă frecvență care alimentează senzorul. Circuitele de redresare și liniarizare din ECPD convertesc tensiunea oscilatorie de la senzor în tensiune continuă proporțională cu distanța dintre vârful senzorului și obiectul țintă. Modulul ECPD este alimentat cu o tensiune de +24 V de la o sursă de tensiune continuă. Tensiunea continuă de ieșire din ECPD poate fi folosită pentru poziționarea senzorului la distanța dorită față de obiectul țintă. Când ținta este în mișcare, forma semnalului alternativ suprapus peste tensiunea continuă a golului dintre senzor și țintă indică amplitudinea vibrației.



**Figura 3** Senzorul EP080 și modulul de alimentare ECPD

Pe modulul ECPD se găsește un potențiomtru de calibrare care permite ajustări foarte fine a ieșirii modulului pentru a compensa diferențele minore în ceea ce privește materialul țintă. Acest potențiomtru trebuie folosit atunci când tensiunea de ieșire nu este mai mare de  $\pm 1\%$  din valoarea tensiunii la exact jumătatea domeniului. Tensiunea de ieșire a modulului poate fi ajustată fără a afecta grav liniaritatea senzorului. Dacă eroarea din tensiunea de ieșire este mai mare de  $\pm 1\%$  și este inacceptabilă, este necesară recalibrarea senzorului și modulului prin resetarea potențiomtrilor interne *zero*, *gain* și *linearity*.

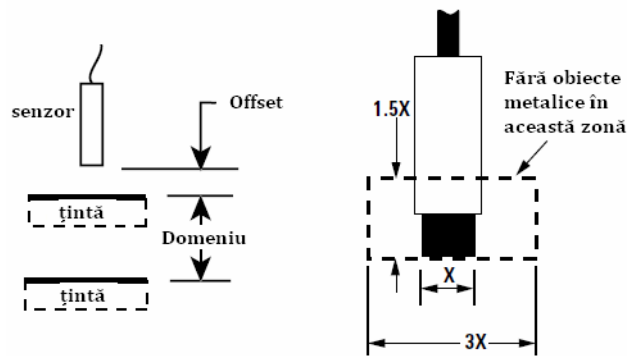
Caracteristicile tehnice ale senzorului MTN/EP080 și modulului ECPD sunt prezentate în tabelul 1.

**Tabelul 1** Caracteristicile tehnice ale senzorului MTN/EP080

Alimentare ECPD	+24 V <sub>cc</sub> , 30 mA
Sensibilitate senzor	8 V/mm nominal
Impedanță de ieșire	< 50 Ω
Domeniul liniar	0,1 ÷ 2 mm
Liniaritate	1 % nominal
Domeniul de frecvență	DC ÷ 10 kHz
Temperatura de funcționare	Senzor: - 30°C ÷ 180°C ECPD: -20°C ÷ 80°C
Sensibilitatea la temperatură	Senzor: mai puțin de 5% la 150°C ECPD: mai puțin de 5% la 80°C
Materialul carcasei	Oțel inoxidabil
Cablul	RG179 PTFE izolat
Lungimea maximă a cablului	9 metri
Cablu prelungitor	MTN/EXTOECP
Material de calibrare	Oțel AISI 4140

Senzorul EP080 a venit din fabrică calibrat pentru un obiect țintă din oțel cu conținut scăzut de carbon (ANSI 4140), material utilizat în arbori de pompe și turbine. Calibrarea unui sistem de măsurare a deplasării verifică faptul că ieșirea sistemului corespunde cu o deplasare fizică cunoscută. Calibrarea necesită abilitatea de a poziționa un obiect țintă la o anumită distanță în raport cu domeniul senzorului. Obiectele țintă din materiale nemagnetice, cum este aluminiul și cuprul, vor prezenta liniaritate doar pentru 50% din domeniul standard al calibrării cu oțel. Înainte de a realiza măsurătorile în regim static, s-a făcut o calibrare a senzorului pentru un obiect țintă din alamă, cu diametrul de 18 mm și grosimea de 0,34 mm.

Montarea senzorului cu curenți turbionari are anumite reguli, dacă acesta este sau nu ecranat. Senzorul EP080 nu este ecranat și trebuie montat astfel încât să se minimizeze efectul rugozității suprafeței, modificărilor de diametru sau excentricitate, care vor afecta precizia măsurătorii. Prin urmare, este indicat ca obiectul țintă să fie perpendicular pe senzor, să aibă o suprafață de aproximativ 3 ori mai mare decât diametrul senzorului, fără discontinuități sau canale care să intre în contact cu sonda, să fie plasat față de vârful senzorului la o distanță egală cu aproximativ 10 – 20% din domeniul total al scării de măsurare (în cazul senzorului EP080 la mijlocul domeniului de măsurare, la 1 mm), deoarece aici se obține cea mai bună liniaritate), iar în imediata apropiere a sondei să nu se găsească obiecte metalice. Figura 4 ilustrează detaliile poziționării senzorului de deplasare cu curenți turbionari.



**Figura 4** Poziționarea senzorului de deplasare cu curenți turbionari neecranat

Distanța dintre sondă și obiectul țintă se calculează după o formulă simplă:  $d$  (mm) =  $V_{dc}$  / sensibilitatea senzorului (8 V/mm), unde  $V_{dc}$  este tensiunea de la bornele modulului ECPD. Pentru vibrații sinusoidale, deplasarea vârf la vârf poate fi calculată din tensiunea de ieșire măsurată folosind un instrument de măsură care indică valoarea RMS reală, după cum urmează:  $d_{vârf-vârf} = 2,83 V_{rms} / \text{sensibilitatea senzorului (8 V/mm)}$ .

În lanțul de măsură a fost introdusă placa de achiziție MicroBox produsă de Disynet (<http://www.microbox.net>), care are rolul de a prelua semnalul (tensiunea continuă analogică) de la ieșirea modulului ECPD și de a-l transmite la calculator, unde este vizualizat, înregistrat și prelucrat cu ajutorul soft-ului Sensor2USB aferent plăcii de achiziție. Figura 5 prezintă placa de achiziție (26 pini) și conectorul terminal (25 pini) necesare pentru conectarea senzorului la calculator. Cele două componente sunt conectate între ele printr-un cablu adaptor care are la un capăt o mufă cu 25 de pini iar la celălalt capăt una cu 26 de pini. Placa de achiziție are următoarele caracteristici tehnice: 5 intrări analogice (10 mV la 10 V), o intrare digitală și un numărător, 5 ieșiri digitale, o ieșire analogică, parte de excitație integrată (de exemplu pentru celulele de încărcare), amplificare integrată pentru 3 canale, conexiune USB de tip „plug and play”, rezoluție de până la 21 biți, până la 25 kHz rată de transfer pe canal. De asemenea, placa de achiziție poate fi conectată și la programul de achiziție și prelucrare de semnale LabVIEW. În tabelul 2 sunt prezentate corespondențele între pinii plăcii de achiziție și cei ai conectorul terminal.

Figura 6 ilustrează sursa de tensiune/curent continuă BK Precision Model 1673 cu trei ieșiri, două variabile (0-32  $V_{dc}$ /0-6 A) și una fixă (5  $V_{dc}$ /3A), care a alimentat senzorul de deplasare și sursa Trek 610E de înaltă tensiune folosită pentru stimularea în regim static a probelor de elastomeri PDMS-SiO<sub>2</sub>-TiO<sub>2</sub>, cu un domeniu de la 0 la ±10 kV. Aceasta din urmă poate funcționa și ca sursă de curent (0 la ±2000  $\mu$ A), amplificator sau controller, atât în curent continuu cât și alternativ.

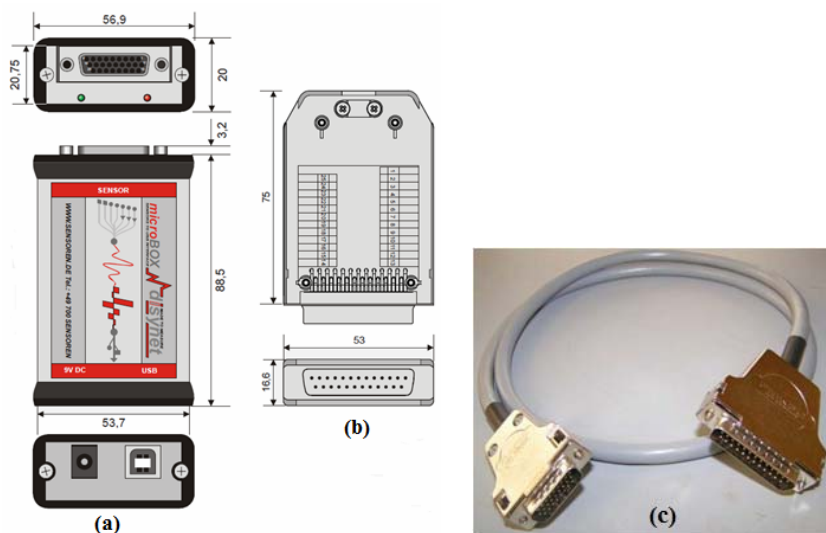


Figura 5 (a) Placă de achiziție; (b) conector terminal; (c) cablu adaptor

Tabelul 2 Corespondența pinilor plăcii de achiziție și conectorului terminal

Placă de achiziție	Conector terminal	Semnificație
26 pini	25 pini	
Pin 2	Pin 1	+ 12 V (sau + 15 V)
Pin 22	Pin 2	GND +/- 12 V (sau +/- 15 V)
Pin 1	Pin 3	- 12 V (sau - 15 V)
Pin 3	Pin 4	+ 5 V
Pin 15	Pin 5	GND +/- 5 V
Pin 4	Pin 6	- 5 V
Pin 12	Pin 7	Ieșire digitală Ch. 0
Pin 11	Pin 8	Ieșire digitală Ch. 1
Pin 10	Pin 9	Ieșire digitală Ch. 2
Pin 20	Pin 10	Ieșire digitală Ch. 3
Pin 19	Pin 11	Ieșire digitală Ch. 4
Pin 21	Pin 12	GND Digital
Pin 25	Pin 13	Ieșire analogică
Pin 13	Pin 14	Intrare numărător, 32 biți
Pin 14	Pin 15	Intrare digitală Ch. 0
Pin 16	Pin 16	Intrare analogică Ch. 4, 10 biți
Pin 17	Pin 17	Intrare analogică Ch. 3, 24 biți
Pin 6	Pin 18	Intrare analogică Ch. 2 (-)
Pin 7	Pin 19	Intrare analogică Ch. 2 (+)
Pin 5	Pin 20	GND ADC
Pin 8	Pin 21	Intrare analogică Ch. 1 (-)
Pin 9	Pin 22	Intrare analogică Ch. (+)
Pin 23	Pin 23	GND ADC
Pin 18	Pin 24	Intrare analogică Ch. 0 (-)
Pin 26	Pin 25	Intrare analogică Ch. 0 (+)
Pin 24	N/C	GND +/- 5 V (NC)



*Figura 6 (a) Sursa de tensiune continuă pentru alimentare senzor și (b) sursa de înaltă tensiune pentru stimularea probelor*

### 3.2 Descrierea metodei de măsurare

Probele trebuie tăiate în formă circulară și plasate între doi electrozi circulari din cupru, un electrod inferior cu diametrul de 23,5 mm și grosimea de 1,4 mm și un electrod superior cu diametrul de 18 mm și grosimea de 0,34 mm. Diametrul probei trebuie să fie egal cu cel al electrodului inferior, zona activă fiind delimitată de aria electrodului superior. Apoi, senzorul trebuie adus în apropierea centrului electrodului superior, la o distanță de aproximativ 1 mm, reprezentând offset-ul senzorului. Pentru că senzorul de deplasare nu este ecranat, el este sensibil la perturbații externe, cum sunt vibrațiile și câmpurile electromagnetice, și din acest motiv ansamblul senzor-probă trebuie închis într-o cușcă Faraday și așezat pe un bloc de bazalt cu tampoane de cauciuc (Figura 1). Presiunea de compresiune exercitată de greutatea electrodului superior, care are o greutate de 0,6667 g, asupra probei de elastomer este:  $p_0 = F/S = F/\pi R^2 = (6,667 \times 10^{-3}) / (3,14 \times 9^2) \text{ N/mm}^2 = 0,0262 \text{ MPa}$ , unde  $F$  este forța de compresiune dată de greutatea electrodului,  $S$  este aria electrodului iar  $R$  este raza lui. Forța de compresiune este comparabilă cu forța raportată de [Zyłka și Janus \(2010\)](#), exercitată de pinul unui microdilatomer cu senzor MEMS asupra unei membrane acrilice. Pentru că presiunea de compresiune exercitată de electrodul superior este mult mai mică decât modulul Young al probelor de PDMS-SiO<sub>2</sub>-TiO<sub>2</sub>, aceasta poate fi neglijată, având în vedere că asupra elastomerilor dielectrici se aplică de obicei tensiuni de compresiune mult mai mari, atunci când sunt puternic predeformați, sau când modul de fixare al probei sau electrozii limitează deplasările libere ale elastomerilor activați la tensiuni înalte.

Odată ce proba este așezată între electrozi și senzorul este adus în apropierea electrodului superior, urmează stimularea cu tensiune electrică continuă. Aplicarea unei tensiuni electrice înalte între cei doi electrozi, va duce la apariția fenomenului de electrostricțiune manifestat printr-o deformație electrică, adică prin contracția probei. Efortul Maxwell, principalul responsabil de deformațiile mari în actuatorii cu elastomer dielectric este mai puțin prezent în acest caz, deoarece electrozii sunt rigizi și nu complianți, pentru a se deforma odată cu proba de elastomer. Pentru a reduce efectul electrozilor rigizi

asupra deformației probei, și anume, forțele de frecare de la interfața electrod-elastomer care pot restricționa deformația, se va aplica un strat de lubrifiant (ulei – squalen). Uleiul aplicat între electrozi și probă poate reduce de până la 10 ori coeficientul de frecare, menținând filmul cât mai plan și eliminând eventualele bule de aer pătrunse între electrod și probă. Totuși, faptul că suprafața filmului nu poate fi perfect plană iar grosimea nu este nici ea perfect uniformă, se poate spune că există o oarecare eroare de măsurare.

Deplasarea pe verticală a electrodului superior, în urma contracției probei, este sesizată de senzor, transmisă ca semnal prin placa de achiziție către calculator, și apoi înregistrată. Oprirea stimulării probei se realizează prin scurtcircuitarea electrozilor (electrodul negativ fiind conectat la masă), filmul revenind la poziția inițială. Timpii de activare și dezactivare sunt de aproximativ 2 minute fiecare, iar măsurările se vor realiza la temperatura camerei. Tensiunea electrică continuă aplicată electrozilor va varia de la 0 la maxim 6 kV, cu pasul de 100 V în intervalul 0÷1 kV și cu pasul de 500 V în intervalul 1÷6 kV.

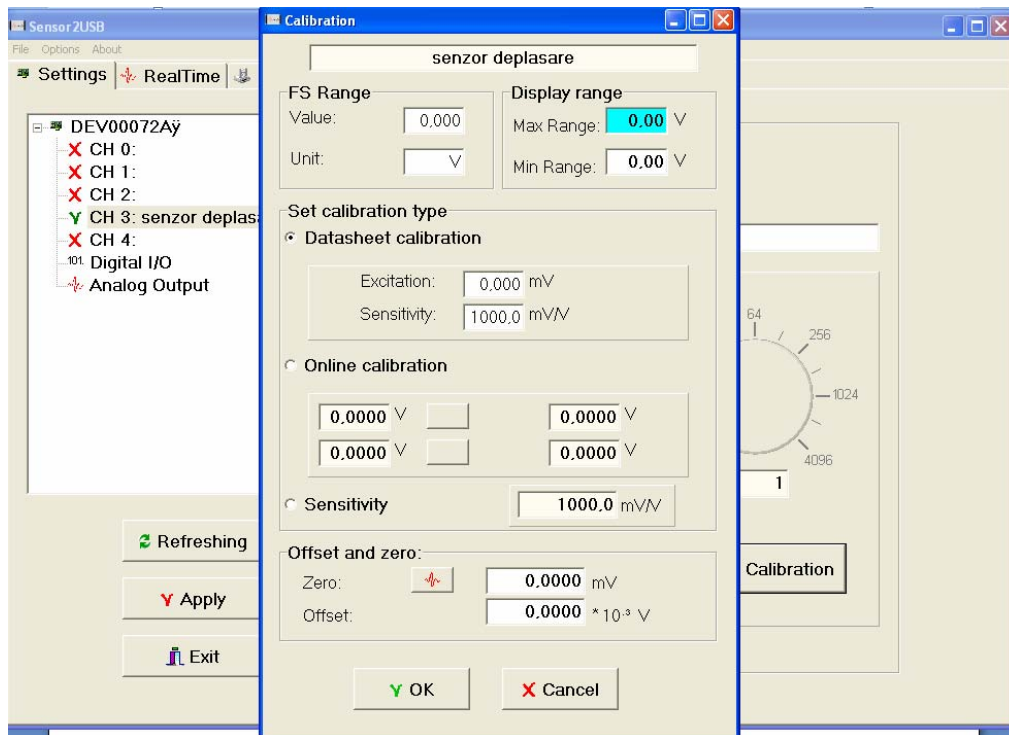
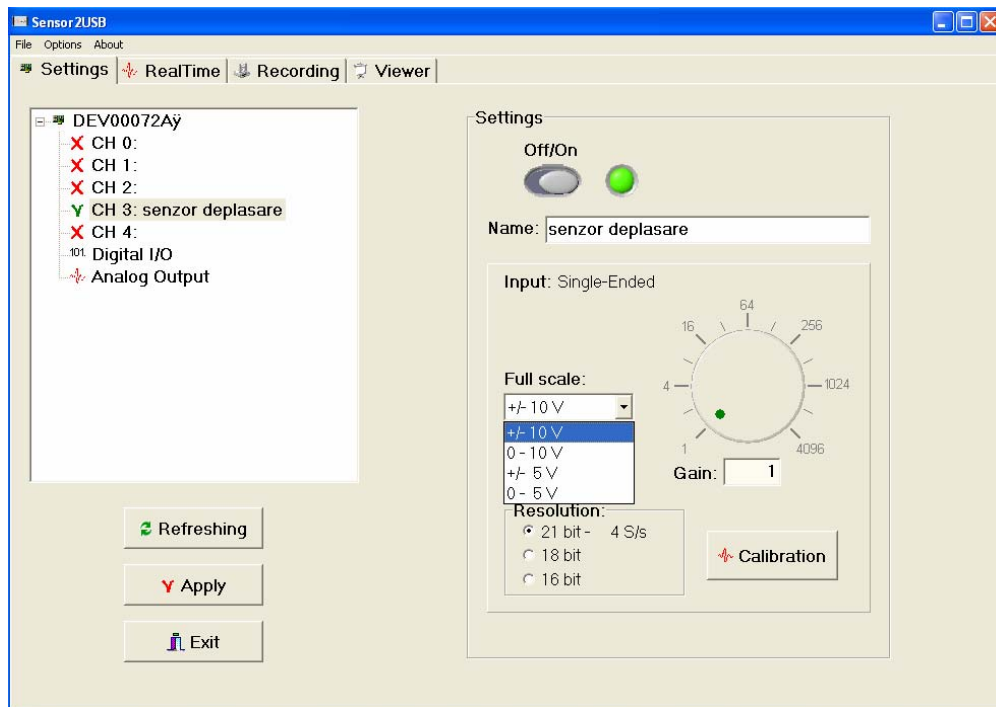
### 3.3 Obținerea rezultatelor experimentale

Semnalele rezultate în urma deplasării electrodului superior față de senzor pot fi stocate în calculator prin intermediul soft-ului Sensor2USB. Interfața acestui soft este destul de simplă, în partea de sus regăsindu-se o bară de meniuri. Meniul “Settings” (Figura 7) permite vizualizarea modelului plăcii de achiziție, firmware-ul și tensiunea de alimentare primită de la USB. Sub denumirea plăcii se găsesc cele 5 canale, plus canalul pentru intrarea/ieșirea digitală și canalul pentru ieșirea analogică. Senzorul de deplasare folosit la măsurători poate fi plasat pe canalul 3 (CH3 – Single Ended Input), selectându-se scara semnalului ( $\pm 10$  V) și rezoluția de achiziție (21 biți, 4 semnale/secundă). Definirea caracteristicilor senzorului, cum ar fi domeniul de măsurare, sensibilitatea, tensiunea de excitare și offset-ul, se realizează apăsând butonul „Calibration”.

Fereastra de meniu “RealTime” permite vizualizarea în timp real a semnalului, chiar și pentru mai multe canale simultan. Figura 8 ilustrează un exemplu de semnal vizualizat în timp real, care arată activarea și dezactivarea filmelor de elastomer supuse la tensiune electrică continuă. Meniul „Recording” permite înregistrarea și stocarea semnalelor în calculator (Figura 8).

Fișierele de semnal stocate au extensia *.dyn* și se pot vizualiza și analiza cu meniul „Viewer” (Figura 9). În acest meniu se poate realiza o analiză primară a semnalului, urmând apoi a fi exportat în format *.csv*, și deschis cu programe de baze de date și/sau lucru tabelar (de exemplu Excel). Semnalul *.csv* deschis cu Excel se prezintă sub forma unei coloane cu valorile tensiunii electrice de la ieșirea modulului ECPD. Folosind relația dintre deplasare și tensiune, se pot calcula deformațiile în grosime pentru fiecare valoare a tensiunii electrice aplicate pe electrozi.





*Figura 7 Meniul "Settings"*

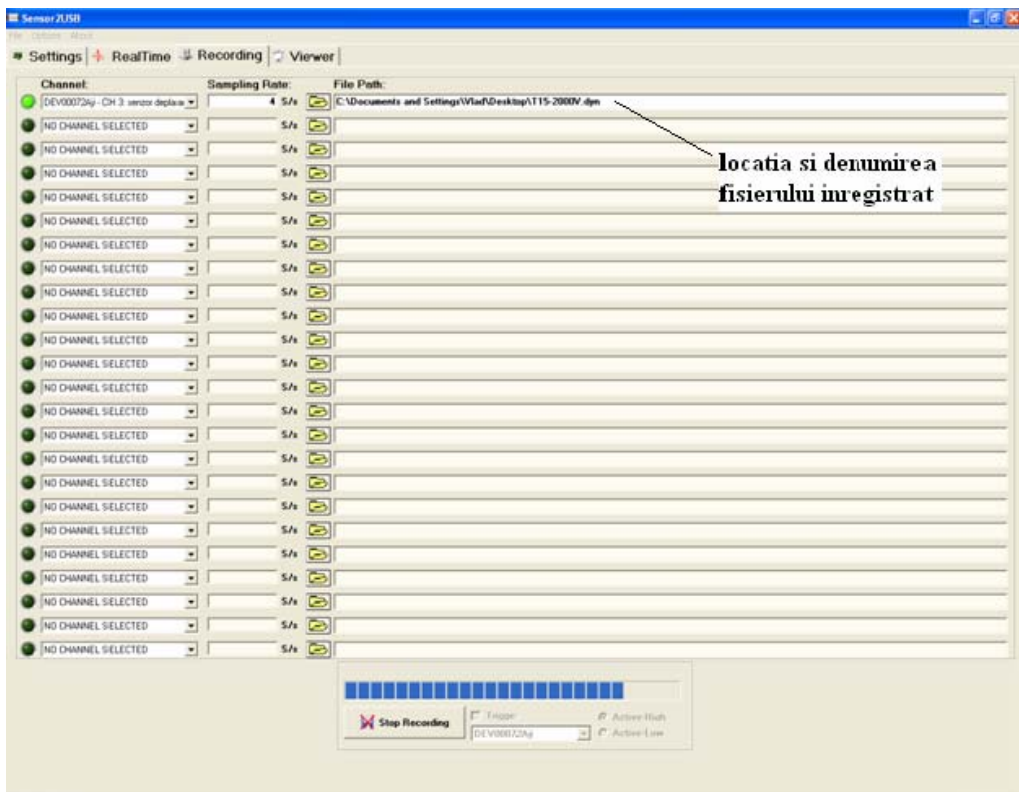
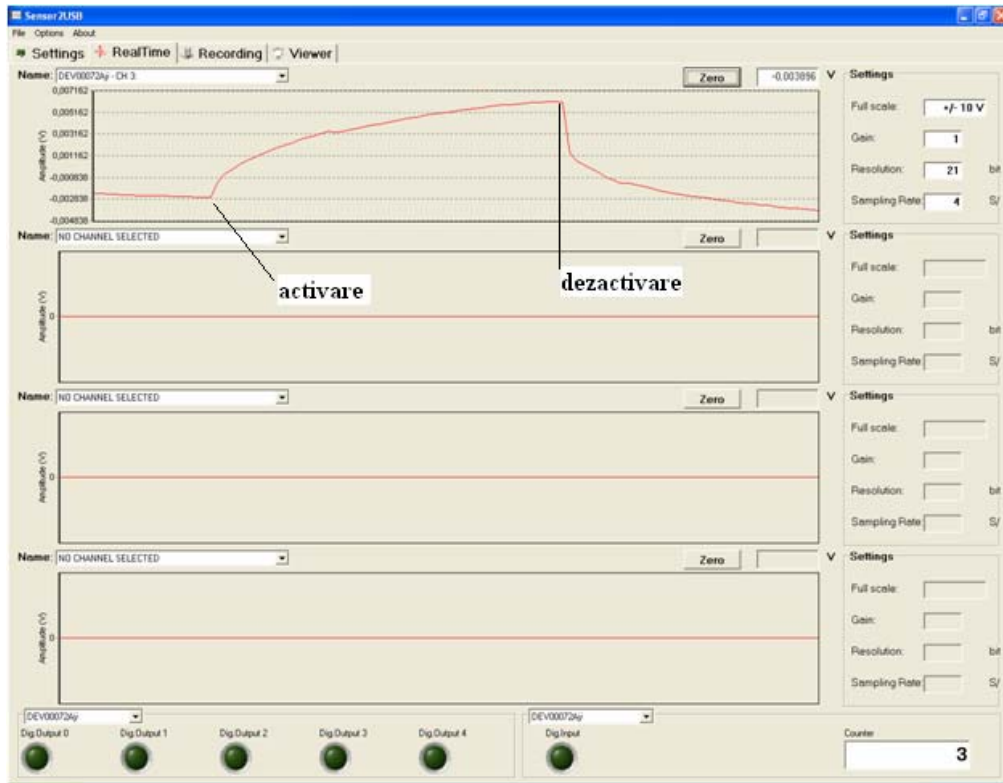
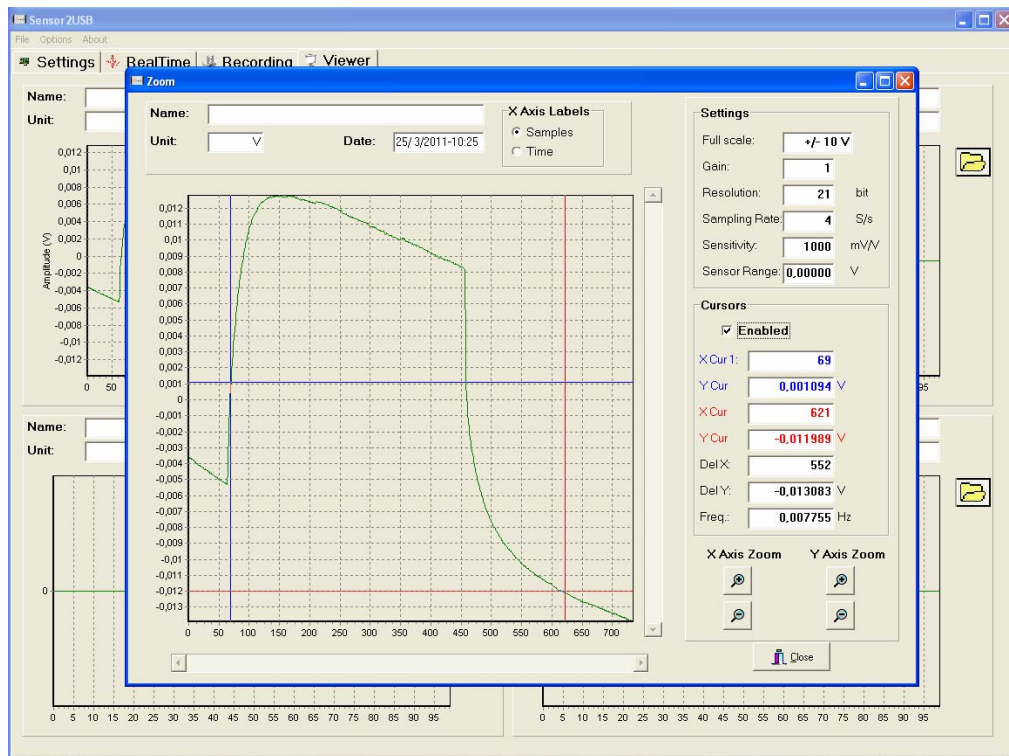
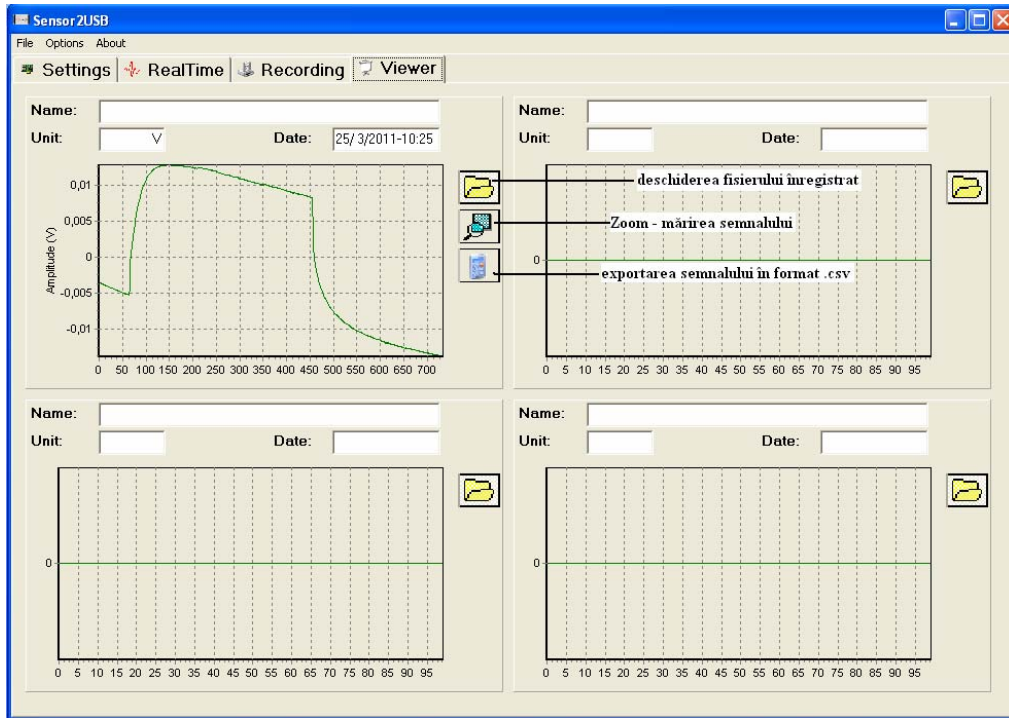


Figura 8 Vizualizarea semnalului în timp real (stânga) și înregistrarea lui (dreapta)

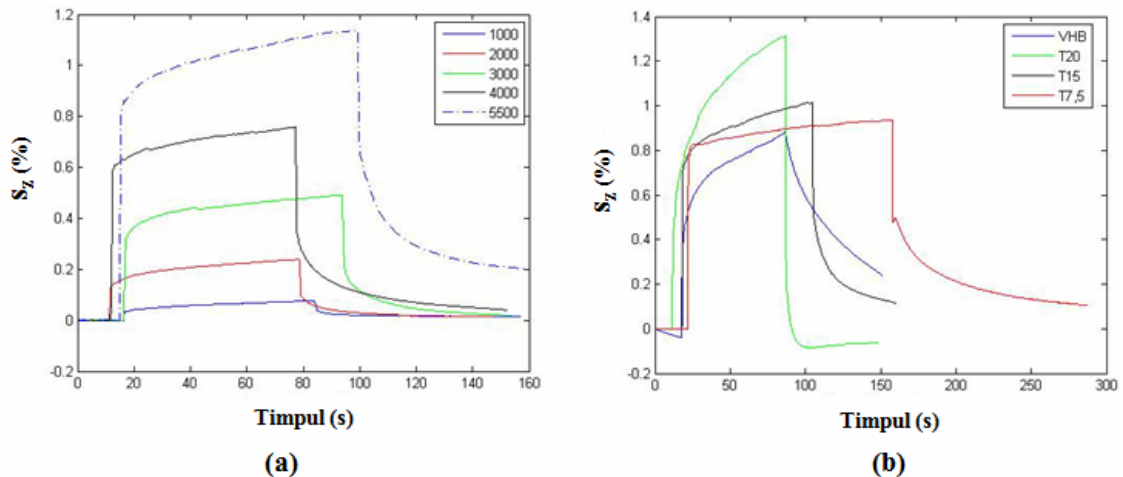


**Figura 9** Meniul „Viewer” pentru vizualizarea și exportarea semnalelor

Pentru reprezentarea grafică a dependenței deformației cu tensiunea electrică se utilizează programul Matlab. Aceste grafice pun în evidență dependența pătratică dintre deformație și câmpul electric, specifică efectului electrostrictiv și Maxwell, care stau la baza funcționării actuatorilor cu elastomer dielectric.

Figura 10(a) ilustrează răspunsul contracție-relaxare în timp la diferite tensiuni electrice continue de stimulare, iar figura 10(b) prezintă contracția ( $s_z$ ) în funcție de timp pentru mai multe probe la tensiunea de 5000 V. Se pot observa trei regiuni distincte:

- porțiunea de început, de aproximativ 10 secunde, reprezentând înregistrarea în gol, fără tensiune electrică aplicată între electrozi. Liniarizarea acestei porțiuni, raportată la rezoluția de înregistrare (4 semnale/secundă) și la întreg semnalul, reprezintă o prelucrare globală a răspunsului prin care poate fi redusă eroarea de măsurare datorată zgomotelor provenite de la diverse surse exterioare perturbatoare care se pot suprapune peste semnal, sau efectelor de membrană.
- porțiunea de activare, reprezentând o creștere rapidă, aproape instantanee la o anumită valoare a contracției, urmată de o stabilizare a ei;
- porțiunea de dezactivare, ca urmare a scurtcircuitării electrozilor, care se caracterizează printr-o revenire mai lentă la starea inițială, la tensiuni electrice mari existând deformații remanente mai semnificative.



**Figura 10** (a) *Contracția în timp a probei T15, în regim static; (b) contracția în timp la tensiunea de 5000 V, pentru diferite probe*

În figura 10(b) se poate observa și semnalul contracție/relaxare în timp pentru elastomerul acrilic VHB 4905. Datorită efectelor vâscoelastice mai pronunțate din elastomerii acrilici, timpul de relaxare este mult mai mare, fapt pentru care revenirea la forma inițială se face mai lent față de elastomerii siliconici. Faptul că efectele vâscoelastice sunt mai puțin pronunțate în elastomerii siliconici, îi face pe aceștia să fie mai promițători ca elemente de actuație.

Dependența pătratică a contracției în grosime cu câmpul electric este ilustrată în figura 11(a). Deformația maximă de 1,3% a fost obținută pentru proba T20 la un câmp electric de 6 V/ $\mu\text{m}$ . Din panta porțiunii inițiale liniare a curbelor contracție-pătratul câmpului electric (Figura 11(b)) au fost calculați coeficienții electrostrictivi aparenti, conform relației (1).

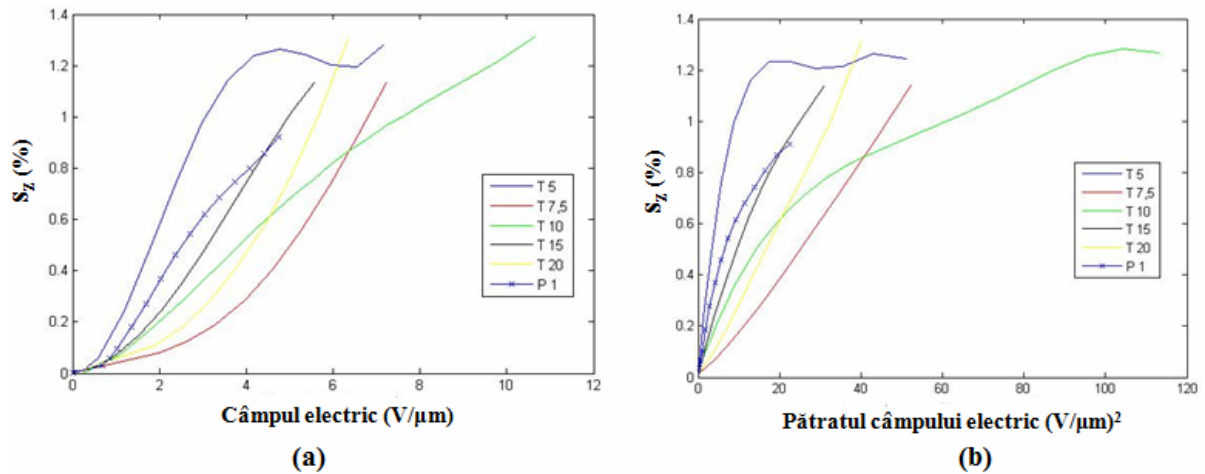


Figura 11 Răspunsul electromecanic al elastomerilor PDMS-SiO<sub>2</sub>-TiO<sub>2</sub> în regim static

$$S_E = -Qs_0^2(s_r - 1)^2 E^2 \quad (2.2)$$

Tabelul 3 prezintă, ca exemplu, parametrii electromecanici ai elastomerilor PDMS-SiO<sub>2</sub>-TiO<sub>2</sub>, calculați la un câmp electric de 6 V/μm.

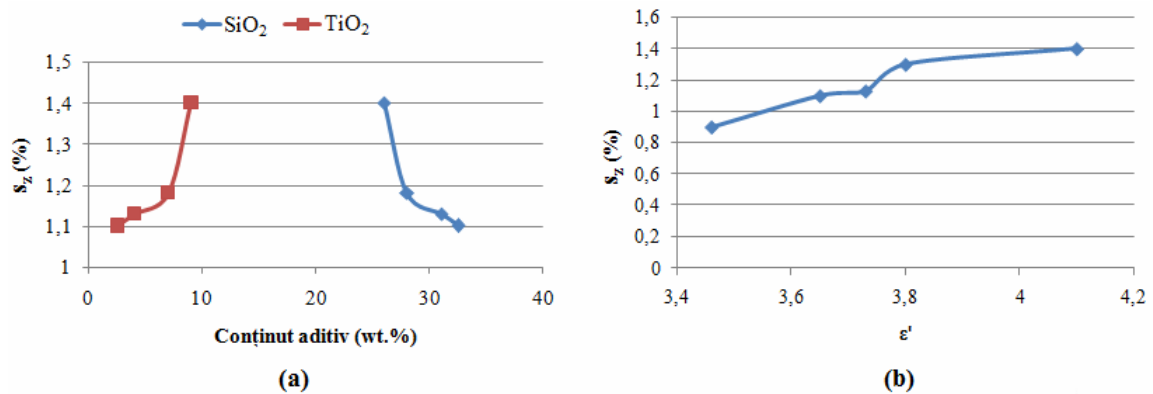
Tabelul 3 Parametrii electromecanici ai elastomerilor PDMS-SiO<sub>2</sub>-TiO<sub>2</sub>

Probă	Y [MPa]	ε' [1 kHz]	S [%]	M·10 <sup>-16</sup> [m <sup>2</sup> /V <sup>2</sup> ]	P [MPa]	S <sub>M</sub> /S [%]	e <sub>m</sub> ·10 <sup>3</sup> [J/cm <sup>3</sup> ]
T5	0,638	3,65	1,1	13,2	0,007	2,1·10 <sup>-4</sup>	0,038
T7.5	0,484	3,73	1,13	2,1	0,0054	18,3·10 <sup>-4</sup>	0,03
T10	0,624	3,65	1,18	4,3	0,0073	7,1·10 <sup>-4</sup>	0,043
T15	0,643	3,8	1,3	5,2	0,0083	6,53·10 <sup>-4</sup>	0,054
T20	0,817	4,1	1,4	3,2	0,011	9,71·10 <sup>-4</sup>	0,08
P1	1,487	3,46	0,9	9,6	0,013	0,96·10 <sup>-4</sup>	0,06

### 3.5. Comentarii privind rezultatele experimentale

Valorile parametrilor electromecanici din tabelul 3 sunt relativ scăzute, din cauza mai multor factori. Un impact major asupra performanței de acțuație îl au electrozii metalici, care nu pot exploata la maxim efortul Maxwell, adică nu se destind odată cu proba. Un alt factor cu un impact negativ este grosimea prea mare a filmelor, de până la 10 ori, față de grosimea altor elastomeri din literatură (care poate ajunge la câțiva zeci de micro) folosiți în experimente de acțuație. Cu toate acestea, reiese că din punct de vedere al proprietăților dielectrice și mecanice, elastomerii PDMS-SiO<sub>2</sub>-TiO<sub>2</sub> sunt comparabili cu alți elastomeri utilizați în literatură ca actuatori sau senzori. Prin urmare, creșterea performanței de acțuație a acestor materiale rebuie să aibă în vedere în primul rând utilizarea unor electrozi complianți (ca de exemplu ioni de Au implantați sau paste

conductive) care să nu restricționeze deformația, grosimea filmelor trebuie redusă mult, la câțiva zeci de  $\mu\text{m}$ , iar constanta dielectrică ar mai trebui crescută prin adăugarea unei concentrații mai mari de titania, sau chiar a unui alt aditiv. Figura 12(a și b) ilustrează influența conținutului de silica și titania dar și a constantei dielectrice asupra contracției în grosime ( $s_z$ ) a elastomerilor PDMS-SiO<sub>2</sub>-TiO<sub>2</sub>. Tot din tabelul 3 se mai poate observa că presiunea de acțiune, contribuția efortului Maxwell și densitatea de energie mecanică cresc odată cu creșterea conținutului de titania.



**Figura 12** Dependența contracției cu: (a) conținutul de SiO<sub>2</sub> și TiO<sub>2</sub>; (b) constanta dielectrică

Contractiile în grosime ale elastomerilor PDMS-SiO<sub>2</sub>-TiO<sub>2</sub> măsurate în regim static cu electrozi metalici rigizi, sunt destul de mici, însă, sunt comparabile ca ordin de mărime cu cele obținute de alți cercetători pe diverși elastomeri dielectrice folosiți ca actuatori

#### 4. Modul de lucru

- se va lua cunoștință despre polimerii electroactivi;
- vor fi identificate elementele echipamentului și se vor reține caracteristicile lor tehnice și rolul lor în determinările experimentale;
- se va însuși metoda de lucru;
- se va lucra efectiv pe echipament pentru a putea fi începute încercările experimentale.



## LUCRARE LABORATOR NR.2

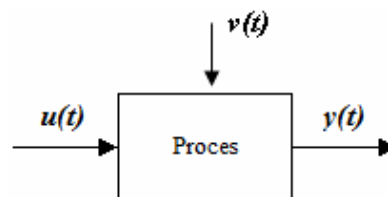
### Determinarea modelului matematic al contracției prin identificarea sistemului

#### 1. Scopul lucrării:

- realizarea de experimente pe probe de polimeri electroactivi;
- determinarea modelului matematic al contracției datorate excitării într-un câmp electric prin identificarea sistemului.

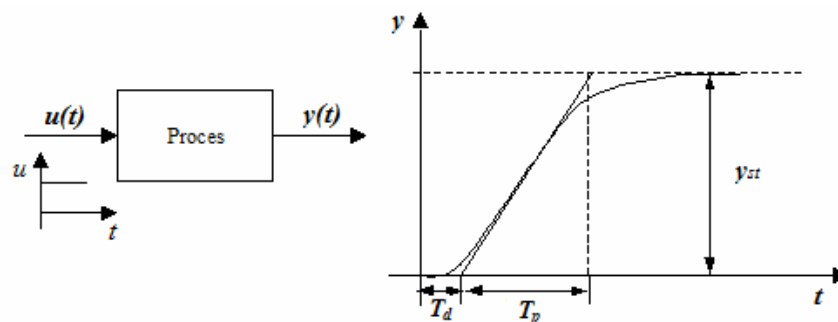
#### 2. Conceptul de identificare a sistemelor

Conceptul de identificare a sistemelor face parte din câmpul modelării sistemelor mecanice utilizând date obținute pe cale experimentală. Conceptul de sistem este prezentat în figura 1 și constă din semnalul de intrare  $u(t)$ , perturbații  $v(t)$  și răspunsul  $y(t)$ . În mod general, utilizatorul poate interveni doar asupra semnalului de intrare, în vederea obținerii unui răspuns adecvat, însă perturbațiile  $v(t)$  care intervin sunt greu de modelat sau estimat, acestea alterează în mod semnificativ răspunsul. Semnalele de ieșire sunt variabile care descriu și furnizează informații cu privire la comportamentul sistemului.



*Figura 1 Conceptul de sistem*

Prin caracteristica statică a unui proces se înțelege dependența între mărimea de ieșire și mărimea de intrare în regim staționar. Caracteristica dinamică a unui sistem sau a unui proces exprimă variația mărimilor de intrare și de ieșire în timp. Dacă la intrarea procesului se aplică un semnal treaptă unitate, la ieșire se obține ca răspuns dinamic al procesului, un răspuns indicial (Figura 2).



### Figura 2 Răspunsul indicial al unui proces

Pe caracteristica dinamică se va trasa o tangentă la curba obținută experimental și se vor determina aproximativ parametrii procesului  $K_p$ ,  $T_p$  și  $T_d$ , conform relației:

$$K_p = \frac{\Delta y_{st}}{\Delta u} \quad (1)$$

unde  $\Delta u$  reprezintă saltul de comandă,  $K_p$  este factorul de proporționalitate,  $T_p$  este constanta de timp iar  $T_d$  este timpul mort (întârzierea intrare-ieșire).

Prin identificarea unui proces se înțelege determinarea caracteristicilor statice și dinamice ale sistemului, precum și exprimarea lor sub forma unui model matematic. Problema identificării unui proces se poate pune în două moduri:

- identificarea (evaluarea) parametrilor (coeficienților) în cazul în care se cunoaște expresia analitică a modelului matematic;
- identificarea globală, în cazul în care cunoștințele referitoare la comportarea procesului nu permit o reprezentare matematică principială.

Modelele obținute în urma procesului de identificare a sistemelor au următoarele particularități în comparație cu cele pe bază de ecuații matematice sau procese fizicochimice:

- sunt foarte ușor de generat și utilizat;
- au validitate limitată (sunt valide doar în anumite condiții de lucru sau pentru anumite procese);
- nu oferă o vedere în interiorul procesului fizic, din moment ce parametrii modelului nu au semnificație fizică, aceștia fiind utilizați doar pentru a descrie cu o acuratețe cât mai mare comportamentul sistemului modelat.

Procesul de identificare se realizează prin excitarea sistemului cu un semnal treaptă, sinusoidal sau aleatoriu și observarea răspunsului acestuia pe o perioadă determinată de timp. Prin intermediul unor echipamente corespunzătoare, semnalele sunt preluate și stocate în calculator pentru o prelucrare ulterioară a informației. Demersul are ca scop generarea unui model care să fie în acord cu datele preluate din proces, model materializat sub forma unei funcții de transfer intrare-ieșire. Un exemplu de funcție de transfer cu un singur pol are forma:

$$G(s) = \frac{K_p}{T_p s + 1} \cdot e^{-T_d s} \quad (2)$$

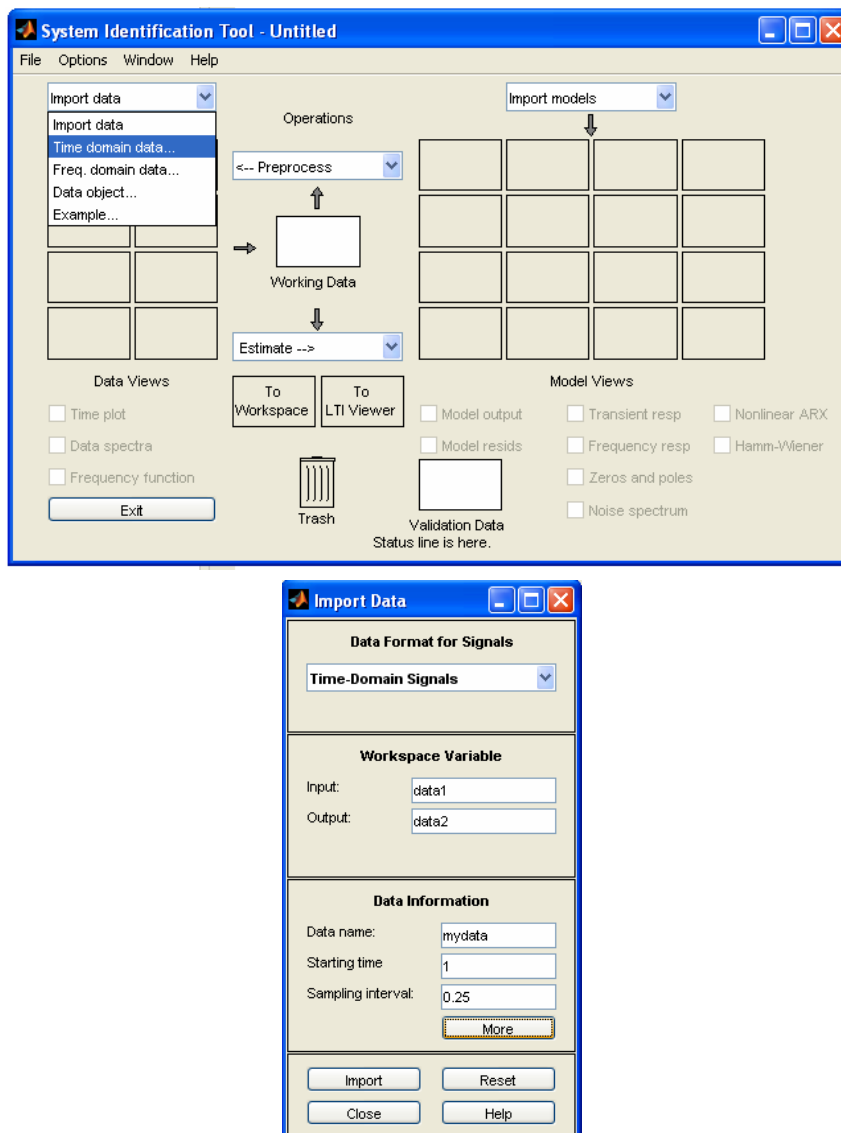
### 3. Descrierea metodei de identificare a sistemului

Metoda de identificare a comportamentului dinamic a sistemelor de acționare pe bază de elastomeri dielectrice are ca suport placa de achiziție microBox de la Disynet, care



preia semnalul analogic de la senzorul de deplasare EP080. Placa microBox este o placă de control în timp real, care permite interfațarea procesului prin porturi intrare/ieșire analogice și digitale.

După prelevarea datelor experimentale, în mediul Matlab se apelează funcția „Ident” care deschide interfața „System Identification Tool” (Figura 3). Această interfață pune la dispoziție o gamă largă de metode de identificare a procesului, atât liniare cât și neliniare. Deoarece semnalele înregistrate cu senzorul sunt semnale în timp, se alege opțiunea „Time Domain Data” unde pot fi importate variabilele de intrare și ieșire dar și alte informații, cum ar fi rata de eșantionare a semnalului. S-a ales o rată de eșantionare de 0,25, în concordanță cu rezoluția de 21 de biți (4 semnale/secundă) a senzorului.

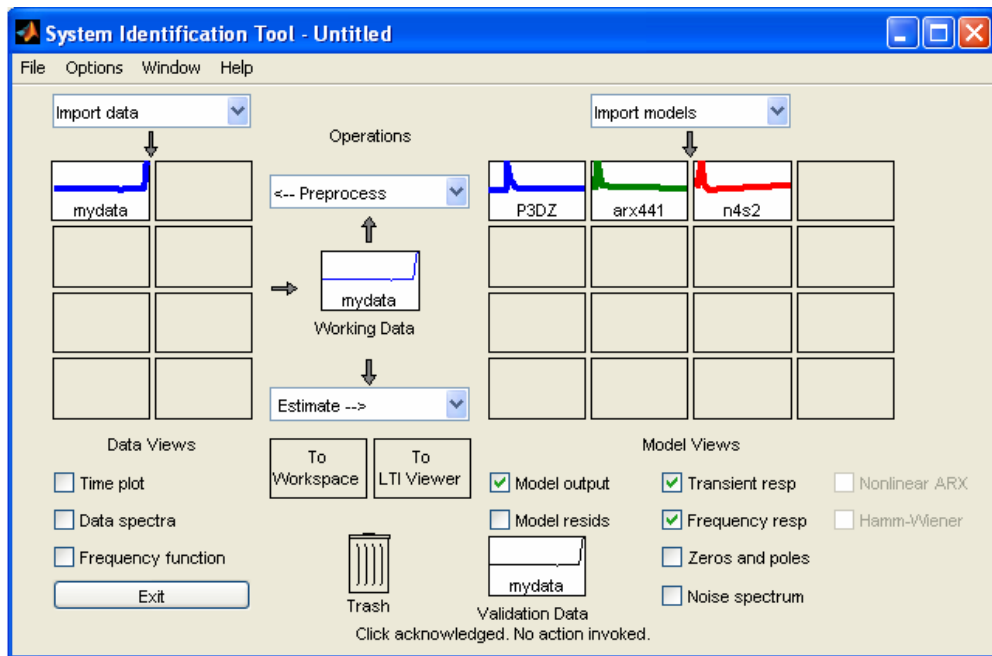


**Figura 3** Interfața „System Identification Tool” pentru identificarea sistemului

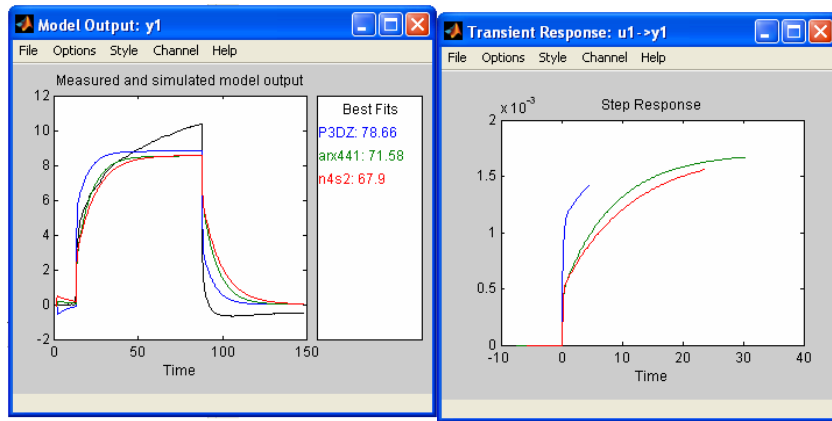
După alegerea seturilor de date pentru generarea modelului, acestea pot fi preprocesate sau estimate, alegând numărul de parametri pentru funcția de transfer  $G(s)$

care descrie comportamentul sistemului, printre care și numărul de poli și zerouri ai funcției și natura acestora (reali sau complecși). Selectarea opțiunii „Quick start” duce la determinarea a trei modele de răspuns optime din punct de vedere al gradului de asemănare cu răspunsul sistemului.

În cadrul metodologiei de identificare a procesului, pentru fiecare probă în parte pot fi identificate trei funcții de transfer (Figura 4(a)), P3DZ, arx441 și n4s2, diferența dintre ele fiind dată de forma acestora. Funcția de transfer P3DZ a modelului procesului a fost obținută prin opțiunea „Process Models”, pe când celelalte două funcții au fost obținute cu comanda „Linear parametric models”. Răspunsurile celor trei funcții de transfer sunt prezentate în figura 4(b) în comparație cu răspunsul înregistrat experimental, din care se poate observa procentul de asemănare cu răspunsul real pentru fiecare funcție în parte. Figurile 4(c) și (d) reprezintă forma părții de început a răspunsului la semnal treaptă, respectiv răspunsul în frecvență, al modelelor descrise de cele trei funcții de transfer.

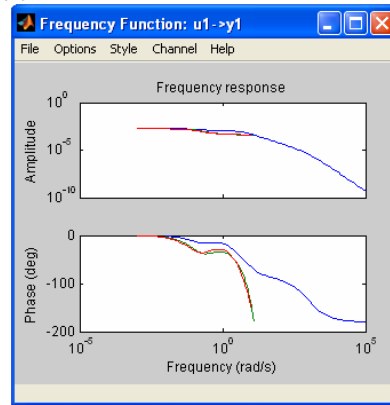


(a)



(b)

(c)



(d)

**Figura 4** Identificarea procesului cu trei funcții de transfer pentru proba T20

Modelul procesului care aproximează răspunsul experimental al probei T20 la tensiunea electrică de 5000 V este descris de o funcție de transfer cu 3 poli și un zero și un procent de asemănare de 78,66%. Funcția P3DZ are forma:

$$G(s) = K_p \frac{1 + T_z s}{(1 + T_{p1} s)(1 + T_{p2} s)(1 + T_{p3} s)} \exp(-T_d s) \quad (3)$$

unde  $K_p=0,0017614$ ,  $T_{p1}=6,9155$ ,  $T_{p2}=0,21855$ ,  $T_{p3}=0,001$ ,  $T_z=4,3592$ ,  $T_d=0$ ; loss function=0,967014 și FPE=0,986549.

Funcția arx441 generează un model de tip IDPOLY discret în timp cu un procent de asemănare de 71,58%, având forma:

$$A(q)y(t)=B(q)u(t)+e(t) \quad (4)$$

unde  $A(q)=1-1,079 q^{-1}+0,02266 q^{-2}+0,05305 q^{-3}+0,02585 q^{-4}$ ,  $B(q)=0,0004174 q^{-1}-0,0003902 q^{-2}+5,389 \cdot 10^{-6} q^{-3}+5,585 \cdot 10^{-6} q^{-4}$ , loss function=0,0457931 și FPE=0,0470265. Modelul IDPOLY discret a fost transformat într-un model IDPOLY continuu în timp de forma:

$$A(s)y(t)=B(s)u(t)+C(s)e(t) \quad (5)$$

unde  $A(s)=s^4+14,62 s^3+154,5 s^2+402 s+44,43$ ,  $B(s)=0,002458 s^3+0,03934 s^2+0,2027 s+0,07587$ ,  $C(s)=s^4+18,87 s^3+216,6 s^2+1060 s+1990$ , loss function=0,0457931 și FPE=0,0470265.

Funcția n4s2 generează modelul spațial de stare cu o intrare, o ieșire, două stări și 12 parametri liberi. Are un procent de asemănare de 67,9%, loss function=0,0468443 și FPE=0,0481061.

Pentru exemplificare sunt date funcțiile de transfer și coeficienții modelelor care descriu procesul pentru celelalte niște probe studiate în regim static :

**a) proba T15**

- P3DZ (79,14%):  $K_p=0,00021537$ ,  $T_{p1}=69,964$ ,  $T_{p2}=4,005$ ,  $T_{p3}=0,001$ ,  $T_z=50,924$ ,  $T_d=0$ ; loss function=0,00677346 și FPE=0,00690026;
- arx441 (85,65%):  $A(q)=1-0,5076 q^{-1}-0,2806 q^{-2}-0,1963 q^{-3}+0,004601 q^{-4}$ ,  $B(q)=9,94 \cdot 10^{-5} q^{-1}-4,591 \cdot 10^{-5} q^{-2}-2,947 \cdot 10^{-5} q^{-3}-2,001 \cdot 10^{-5} q^{-4}$ , loss function=0,000240904 și FPE=0,000246917;
- n4s2 (86,95%): loss function=0,000240931 și FPE=0,000246945.

**b) proba T10**

- P2DZ (83,56%) cu 2 poli și un zero:  $K_p=0,00040461$ ,  $T_{p1}=219,05$ ,  $T_{p2}=0,49426$ ,  $T_z=86,12$ ,  $T_d=0$ ; loss function=0,00427707 și FPE=0,00431682;
- arx441 (74,11%):  $A(q)=1-0,6515 q^{-1}-0,2421 q^{-2}-0,1193 q^{-3}+0,01629 q^{-4}$ ,  $B(q)=9,945 \cdot 10^{-5} q^{-1}-5,094 \cdot 10^{-5} q^{-2}-2,674 \cdot 10^{-5} q^{-3}-1,26 \cdot 10^{-5} q^{-4}$ , loss function=0,000308718 și FPE=0,000313308;
- n4s2 (74,62%): loss function=0,000311139 și FPE=0,000315766.

**c) Proba T7,5**

- P2DZ (87,31%) cu 2 poli și un zero:  $K_p=0,00021764$ ,  $T_{p1}=102,35$ ,  $T_{p2}=0,52912$ ,  $T_z=63,254$ ,  $T_d=0$ ; loss function=0,00219307 și FPE=0,00221214;
- arx441 (64,05%):  $A(q)=1-1,175 q^{-1}+0,3074 q^{-2}-0,1742 q^{-3}+0,04705 q^{-4}$ ,  $B(q)=3,56 \cdot 10^{-5} q^{-1}-2,948 \cdot 10^{-5} q^{-2}+7,871 \cdot 10^{-7} q^{-3}-5,937 \cdot 10^{-6} q^{-4}$ , loss function=0,000225079 și FPE=0,000228211;
- n4s2 (68,51%): loss function=0,0002361 și FPE=0,000239454.

**d) Proba T5**

- P2DZ (77,28%) cu 2 poli și un zero:  $K_p=0,00063385$ ,  $T_{p1}=215,2$ ,  $T_{p2}=1,3154$ ,  $T_z=39,89$ ,  $T_d=0$ ; loss function=0,00585432 și FPE=0,00595092;
- arx441 (46,8%):  $A(q)=1-2,691 q^{-1}+2,383 q^{-2}-0,6861 q^{-3}+0,005241 q^{-4}$ ,  $B(q)=-2,158 \cdot 10^{-5} q^{-1}+8,387 \cdot 10^{-6} q^{-2}-9,67 \cdot 10^{-6} q^{-3}+3,446 \cdot 10^{-6} q^{-4}$ , loss function=0,000239663 și FPE=0,000245991;
- n4s2 (42,14%): loss function=0,000253303 și FPE=0,000259991.

**e) Proba P1**

- P2DZ (88,68%) cu 2 poli și un zero:  $K_p=0,0012036$ ,  $T_{p1}=1153,9$ ,  $T_{p2}=0,3114$ ,  $T_z=189,55$ ,  $T_d=0$ ; loss function=0,000912311 și FPE=0,000921;

- arx441 (56,01%):  $A(q)=1-0,8639 q^{-1}-0,07221 q^{-2}-0,0749 q^{-3}+0,01334 q^{-4}$ ,  
 $B(q)=7,375 \cdot 10^{-5} q^{-1}-5,133 \cdot 10^{-5} q^{-2}-1,318 \cdot 10^{-5} q^{-3}-8,522 \cdot 10^{-6} q^{-4}$ , loss  
function=0,000234891 și FPE=0,000238511;
- n4s2 (56,65%): loss function=0,000236764 și FPE=0,000240414.

Metodologia de identificare a procesului care descrie răspunsul elastomerilor în câmp electric este utilă pentru dezvoltarea de actuatori și senzori performanți. Găsirea modelului matematic care să descrie comportamentul static (semnal treaptă) și dinamic (semnal sinusoidal) al unor astfel de materiale este util în implementarea cu succes în tehnici de control bazate pe model. Acest lucru ușurează munca în cadrul proiectării integrate reprezentate de proiectarea componentei de control, utilizând tehnici de prototipare rapidă a controlului.

#### 4. Modul de lucru

- se vor efectua măsurători experimentale pe probe de polimeri electroactivi;
- se va identifica modelul matematic care descrie răspunsul elastomerilor în câmp electric utilizând metodologia din lucrare;
- vor fi trasate graficele corespunzătoare.